

(株)神戸製鋼所 正員

頭井 洋

〃

新家 徹

まえがき

近年円筒タンクの弾性変形と液体との連成効果に関する研究が盛んに行われその成果が徐々に実際設計に取り入れられつつある。現在水平震動に対する注目されている振動モードは周方向については一次モードだけであるが模型タンクを用いた振動実験によると花びら振動と共に^(1,2,3)周方向高次モードが観測されており、今後の重要な研究課題と考えられる。これまで行われてきた円筒タンクの振動解析のほとんどは静液圧による初期周方向膜力の影響は考慮していないが、周方向高次モードではその影響が無視しえないと考えられる。⁽²⁾

本文では Love-Timoshenko のシェル理論⁽⁴⁾および速度ポテンシャル理論を用いて、静液圧による初期周方向膜力を考慮した円筒タンクの固有振動解析について報告する。

2. 理論

液体は 非粘性、非圧縮性、渦無しとしあつ短周期地震動を対象として自由表面での波高は小さいとする。この時 速度ポテンシャル重は図 1 の座標を用いて次のように表わされる。

$$\Psi(r, \theta, x, t) = \sum_{k=1}^{\infty} \sum_{s=1}^{\infty} \Psi_{ks} \cdot q_{ks} + \Psi_0 \cdot \dot{u}_g \quad (1)$$

ここで q_{ks} : 周方向 k 次軸方向 s 次の基準座標

u_g : 地動変位

$$\Psi_{ks} = \left[-\sum_{i=0}^{\infty} \frac{2 I_k(\lambda_i r/H) \cos(\lambda_i x/H) \int_0^H f_{ks}(x) \cos(\lambda_i x/H) dx}{\lambda_i \{ I_{k+1}(\lambda_i a/H) - (kH/\lambda_i a) I_k(\lambda_i a/H) \}} \right] \cos k\theta$$

$$\Psi_0 = \left[-\sum_{i=0}^{\infty} \frac{2 H (-1)^i I_i(\lambda_i r/H) \cos(\lambda_i x/H)}{\lambda_i^2 \{ I_0(\lambda_i a/H) - (H/a) I_1(\lambda_i a/H) \}} \right] \cos \theta$$

また $\lambda_i = (i + 1/2)\pi$, $I_k(x)$ は k 次の第 1 種変形 Bessel の関数, $f_{ks}(x)$ は法線方向変位 w の周方向 k 次軸方向 s 次の振動モードを表す。動液圧 P は液体の単位重量を γ_w , 重力の加速度を g として次式で与えられる。

$$P(r, \theta, x, t) = -(\gamma_w/g) \cdot \partial \Psi / \partial t \quad (2)$$

一方薄肉円筒シェルの基礎方程式は Love-Timoshenko より次のようになります。

り次のようになる。⁽⁴⁾

$$\begin{cases} \frac{\partial N_x}{\partial x} + \frac{\partial N_{xz}}{\partial z} - N_{\theta\theta} \left(\frac{1}{a} \frac{\partial^2 v}{\partial \theta^2} x + \frac{1}{a} \frac{\partial w}{\partial z} \right) + P_z = 0 \\ \frac{\partial N_{xz}}{\partial x} + \frac{\partial N_{\theta\theta}}{\partial z} - \frac{\partial Q_\theta}{\partial z} + P_\theta = 0 \\ \frac{\partial Q_\theta}{\partial z} + \frac{\partial M_{\theta\theta}}{\partial \theta} + \frac{N_\theta}{a} + \frac{N_{\theta\theta}}{a^2} \left(\frac{\partial v}{\partial \theta} - \frac{\partial^2 w}{\partial \theta^2} \right) - P_z = 0 \\ \frac{\partial M_{\theta\theta}}{\partial x} + \frac{\partial M_{xz}}{\partial z} - Q_\theta = 0 \\ \frac{\partial M_{xz}}{\partial x} + \frac{\partial M_{\theta\theta}}{\partial z} - Q_x = 0 \end{cases} \quad (3)$$

$$\begin{cases} N_\theta = \frac{B}{a} \left(\frac{\partial v}{\partial \theta} + w + a v \frac{\partial u}{\partial x} \right) \\ N_x = \frac{B}{a} \left(a \frac{\partial u}{\partial z} + v \frac{\partial v}{\partial \theta} + v w \right) \\ N_{xz} = N_{\theta\theta} = \frac{B}{2a} (1-\nu) \left(\frac{\partial u}{\partial \theta} + a \frac{\partial v}{\partial x} \right) \\ M_\theta = \frac{D}{a^2} \left(-\frac{\partial v}{\partial \theta} + \frac{\partial^2 w}{\partial \theta^2} + a^2 v \frac{\partial^2 w}{\partial x^2} \right) \\ M_x = D \left(\frac{\partial^2 w}{\partial z^2} - \frac{v}{a^2} \frac{\partial^2 v}{\partial \theta^2} + \frac{v}{a^2} \frac{\partial^2 w}{\partial \theta^2} \right) \\ M_{xz} = M_{\theta\theta} = \frac{D}{a} (1-\nu) \left(-\frac{\partial v}{\partial z} + \frac{\partial^2 w}{\partial z \partial \theta} \right) \end{cases} \quad (4)$$

$$B = Eh/(1-\nu^2), D = Eh^3/12(1-\nu^2)$$

E: 弹性係数, ν : ポアソン比である。

式(3), (4)で w, P_z の正負が Timoshenko とは逆になつてゐる。また $N_{\theta\theta}$ は 静液圧による周方向膜力で、液深を H , $B = \sqrt{3(1-\nu^2)/a^2}$ として次式で与えられ
⁽⁴⁾

$$N_{\theta\theta} = \alpha \gamma_w H \left[(1 - \frac{\theta}{H}) - e^{-\beta x} \{ \cos \beta x + (1 - \frac{\theta}{\beta H}) \sin \beta x \} \right] \quad (5)$$

θ 軸に関する回転角を ψ , 境界における等価せん断力を $V_x, S_{\theta x}$ とすると 次式が得られる。

$$\psi = \frac{\partial w}{\partial x}, V_x = Q_x + \frac{\partial M_{\theta\theta}}{\partial z}, S_{\theta x} = N_{\theta\theta} - \frac{M_{\theta\theta}}{a} \quad (6)$$

円周方向 k 波で調和振動している時、振動数を ω として変位および断面力は次のように表示できる。

$$u = f_1(x) \cos k\theta \cdot \cos \omega t, M_x = f_2(x) \cos k\theta \cdot \cos \omega t \quad (7)$$

$$v = f_3(x) \sin k\theta \cdot \cos \omega t, V_x = f_4(x) \cos k\theta \cdot \cos \omega t \quad (7)$$

$$w = f_5(x) \cos k\theta \cdot \cos \omega t, S_{\theta x} = f_6(x) \sin k\theta \cdot \cos \omega t \quad (7)$$

$$\psi = f_7(x) \cos k\theta \cdot \cos \omega t, N_{\theta\theta} = f_8(x) \cos k\theta \cdot \cos \omega t \quad (7)$$

慣性力層, P_1 , P_2 は容器の材料密度を ρ として次のよう
に与えられる。

$$P_1 = \frac{\rho h}{g} \omega^2 U, P_2 = \frac{\rho h}{g} \omega^2 V, P_3 = \frac{\rho h}{g} \omega^2 W - P(\theta, x, t)_{r=a} \quad (8)$$

ここで $P(\theta, x, t)_{r=a}$ は動液圧による慣性力を表わして
おり、式(1), (2)に式(7)を代入して得られる。ただしこ
こでは調和振動を仮定しているので式(1)の θ 項は消え
る。式(7), (8)を式(3), (4), (6)に代入し整理すると次の1
階常微分方程式が得られる。

$$\frac{d^2}{dz^2} \{Z\} = [A] \{Z\} \quad (9)$$

$$\{Z\} = \{f_1^*, f_2^*, f_3^*, f_4^*, f_5^*, f_6^*, f_7^*, f_8^*\}^T$$

$f_1^* \sim f_8^*$ は各変位および断面力の振動モードを表わす
未知数であり、 $[A]$ は 8 行 8 列の係数マトリックスで
ある。式(9)に伝達マトリックス法を適用して固有振動
数および振動モードを求めたが、その際 $[A]$ の各要素
の大きさが非常に不ぞろいとなり桁落ちにより精度が低
下するので、文献 5) に示された複素固有値法を用いて
精度の向上をはかった。

3 計算例

図 2 は、文献 3) の実験値と本文の計算値とを比較したものである。図 2 の破線は初期膜力を無視した場合、実線
は初期膜力を考慮した場合の計算値を示している。周方向
波数 k が 5 より小さい場合初期膜力の影響はほとんど
ないが、 k が 5 より大きくなるにつれてこの影響は大き
くなる事がわかる。初期膜力を考慮した計算値は、実験
値と良く一致している。図 2 は上
端で厚板により側板変形が拘束さ
れている場合であるが、図 3 は同
様諸元で上端が Free の場合の計算
値を示している。図 2, 図 3 の両
者を比較すると次の点に注目され
る。図 2 で $k = 2 \sim 5$ の間で計算
値を結ぶ曲線はなめらかでないが

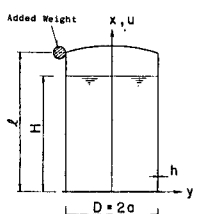


Fig. 1 Tank Shape and Coordinate

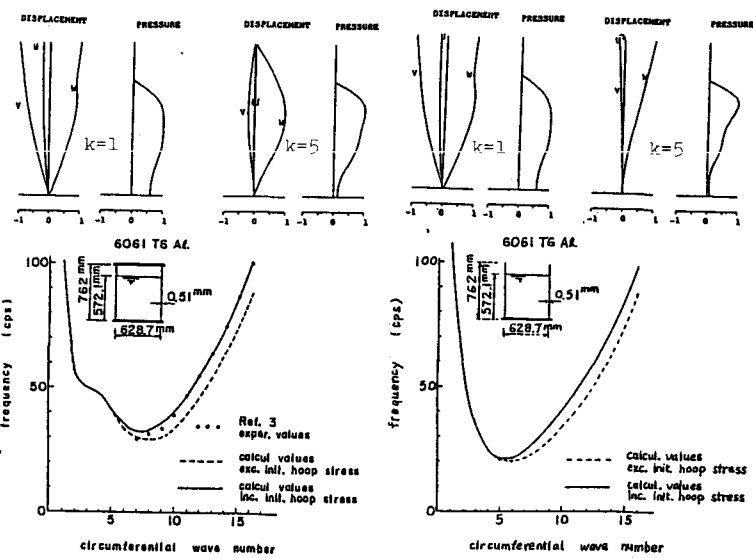


Fig. 2 Natural Frequencies

その理由は、上端で厚板により側板変形が拘束されて
おり片持架に近い振動をする $k=1$ の場合にはその影響
はほとんどないが周方向モード次数が大きくなるにつ
れ上端での拘束の影響があらわれ、 $k=2 \sim 5$ がその遷
移領域にあたっているためと思われる。これに対し上
端で側板変形を拘束していない図 3 ではなめらかな曲
線が得られている。また図 2, 図 3 の変位の振動モー
ドを比較してみると $k=1$ の場合はほとんど同じ振動モー
ドが得られていくが、 $k=5$ の場合は上端の側板変
位拘束の有無の影響が大きく表われ、かなり相違する
振動モードが得られている。実際タンクはウインド
ガーダーやナックルプレートが存在するので図 2 の場
合に近いと考えられる。その他の計算例は講演会当日
報告させていただく。

参考文献

- 1) R.W. Clough, Akira Niwa & D.P. Clough "Experimental Seismic Study of Cylindrical Tanks", Proc. ASCE ST12, 1979
- 2) 越智, 矢井, 内藤 "液体と円筒タンクの建設振動" 石川島播磨技術報, 第 18巻第 1号, 1978
- 3) D.P. Kana, "Seismic Response of Flexible Cylindrical Liquid Storage Tanks", Nucl. Eng. & Design 52, 1979
- 4) Timoshenko, "Theory of Plates and Shells", McGRAW-HILL
- 5) 中村秀治, "管路・薄肉はりなどの線形常微分方程式の一数値解析法" 土木学会論文報告集, 第 271, 1978

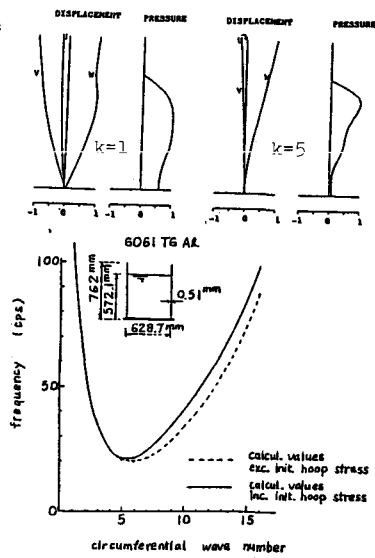


Fig. 3 Natural Frequencies